

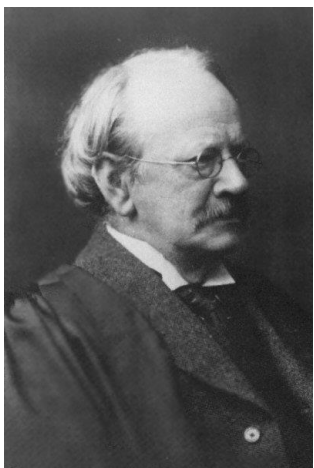
原子的结构

- 电子的发现

1894年，J. Stoney命名阴极射线的粒子为电子electron

1897年，英国J. Thomson测量电子荷质比

1899年，J. Thomson利用T. Wilson发明的云室测量电子电荷



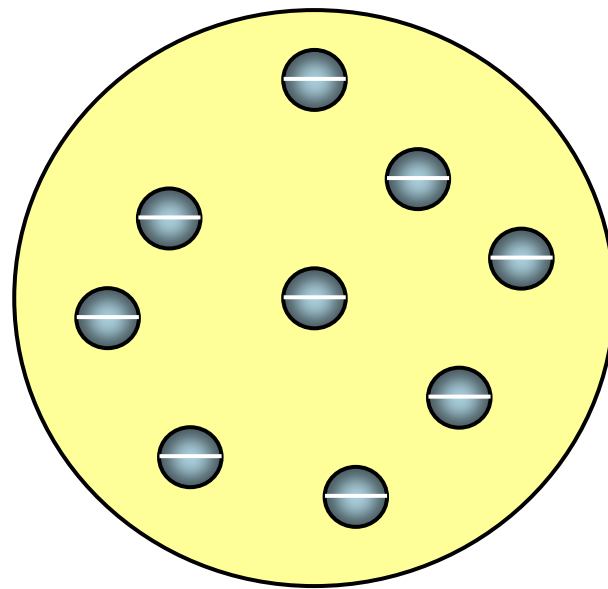
Sir Joseph John Thomson

- Thomson认为

- ① 正电荷均匀分布在一个半径 $\sim 10^{-10}$ 米的球内，

- ② 电子镶嵌其中

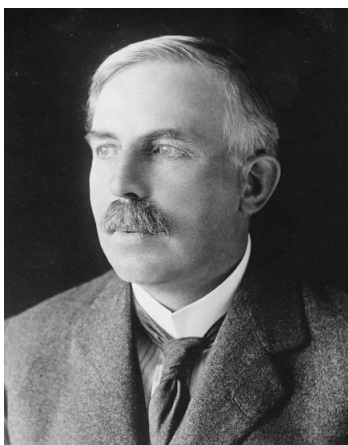
$$m_e = \frac{1}{1836} m_p$$



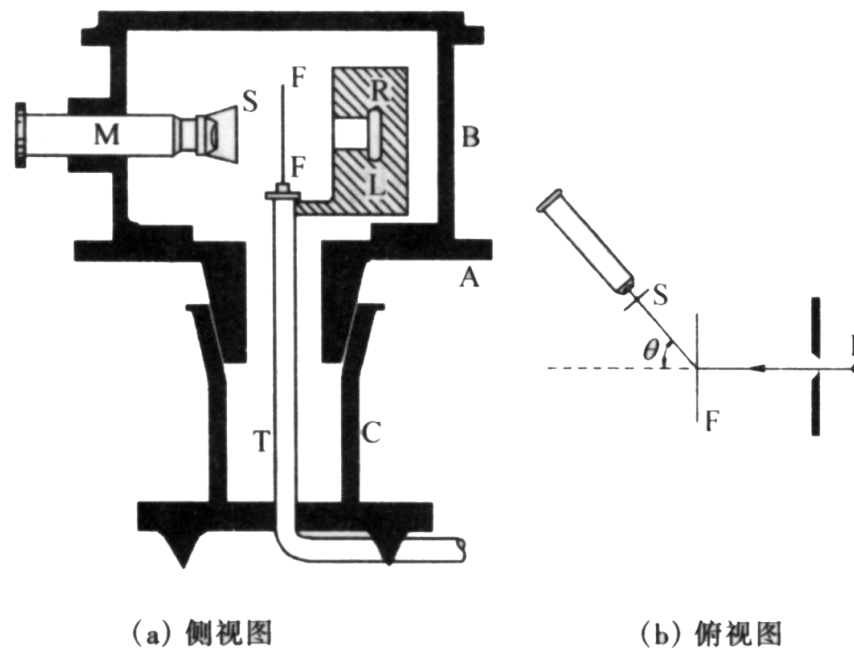
葡萄干布丁模型

散射装置

- 1896年Antoine Henri Becquerel发现 α 射线
- E. Rutherford确认 α 粒子是 He^{++}
- 卢瑟福发明用荧光屏的发光次数来计数 α 粒子
- 卢瑟福用 α 粒子碰撞靶原子，检验原子模型

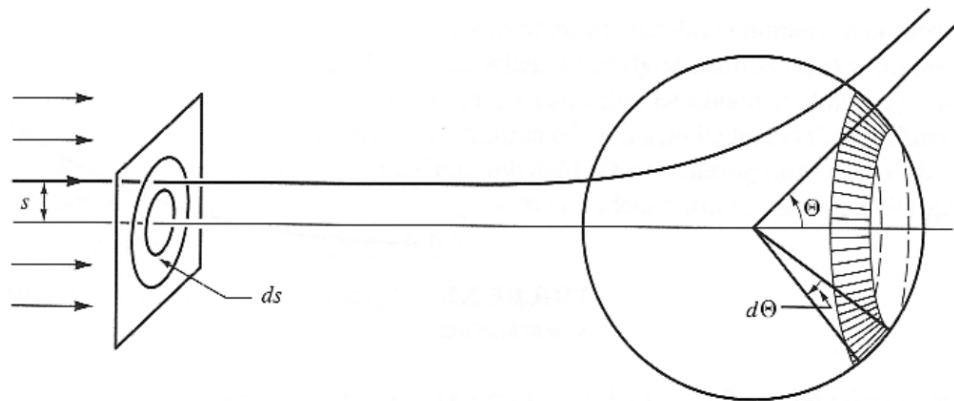


Ernest Rutherford



图中 R 是放射源, F 是散射箔, S 是闪烁屏, 圆形金属匣 B 固定于附有刻度的圆盘 A 上, A 和 B 可在光滑的套轴 C 上转动, R 与 F 装于与匣无关的管 T 上, 整个匣子由 T 管抽空, 在 S 屏上的闪烁计数通过显微镜 M 观察.

碰撞截面



- 微观粒子的运动轨迹不可见
- 实验中能做到的是使用大量速度（几乎）相同的粒子构成的束流去碰撞靶标
- 能够测量被散射粒子的方向

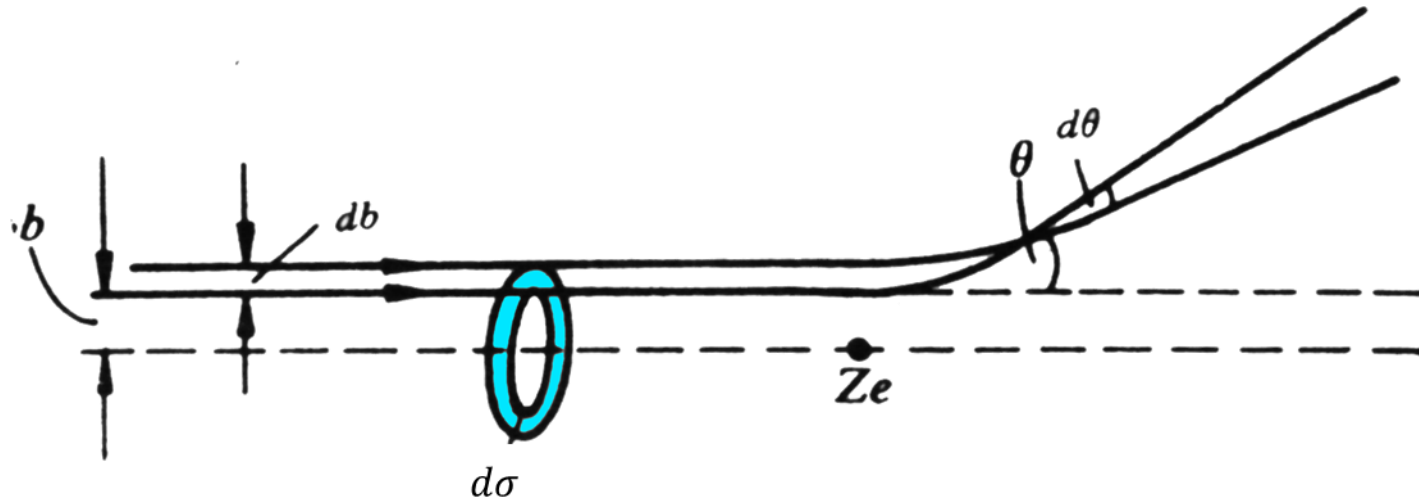
- 在距离靶标无穷远处取一平面，该平面以入射束流方向为法向
- 粒子的初始状态，可用入射粒子轨道与平面的交点表示
- 对此平面取极坐标系 (b, ϕ) ，测度（面积）为
$$d\sigma = b \cdot db \cdot d\phi$$

- 取一半径无穷大的球面
- 粒子被散射后的末态，用出射粒子轨道与此球面的交点表示
- 对此球面取球坐标 (Θ, Φ) ，立体角是
$$d\Omega = \sin \Theta \cdot d\Theta \cdot d\Phi$$

- **微分截面**定义为：初态测度与末态测度之比 $d\sigma/d\Omega$
- 中心力场散射满足 $\Phi = \phi$
- 中心力场散射的微分截面是

$$\frac{d\sigma}{d\Omega} = \frac{b}{\sin \Theta} \frac{db}{d\Theta}$$

微分截面的物理意义



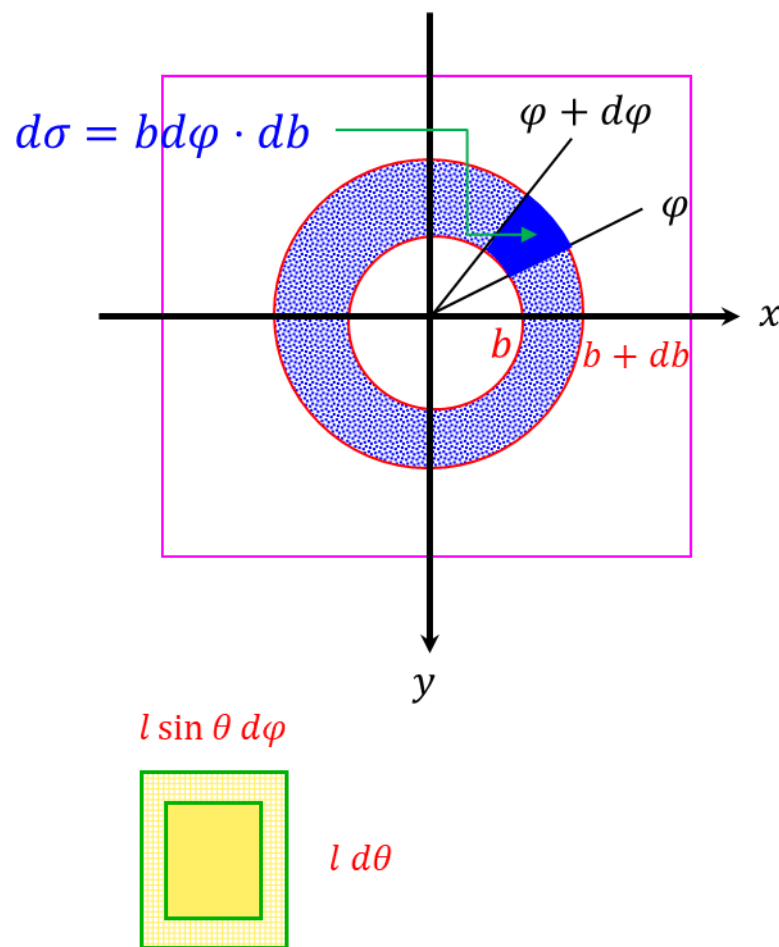
- 在束流半径范围内，入射粒子的流密度大小均匀
- $d\sigma$ 正比于参与碰撞的粒子数目， $d\Omega$ 是粒子被散射后所处的立体角范围
- 微分截面 $\frac{d\sigma}{d\Omega}$ 越大，则粒子被散射到该方向的概率越大

微分截面的实验值

- 实验中**束流强度**（单位时间内在单位面积通过粒子数）为 j
- 单位时间内通过 $d\sigma$ 的粒子数为 $j d\sigma$
- 这些粒子被散射后，被布置在 (θ, ϕ) 方向、立体角范围 $\Delta\Omega$ 的探测器捕获
- 单位时间内捕获的粒子数目 n 为

$$n = j \left(\frac{d\sigma}{d\Omega} \right)_{\text{exp}} \Delta\Omega$$
$$\Rightarrow \left(\frac{d\sigma}{d\Omega} \right)_{\text{exp}} = \frac{n}{j \Delta\Omega}$$

- 微分截面实验值与理论值对比，可检验理论模型是否正确



探测器张开的立体角

$$dS = l^2 d \cos \theta d\phi \propto d\Omega$$

散射公式

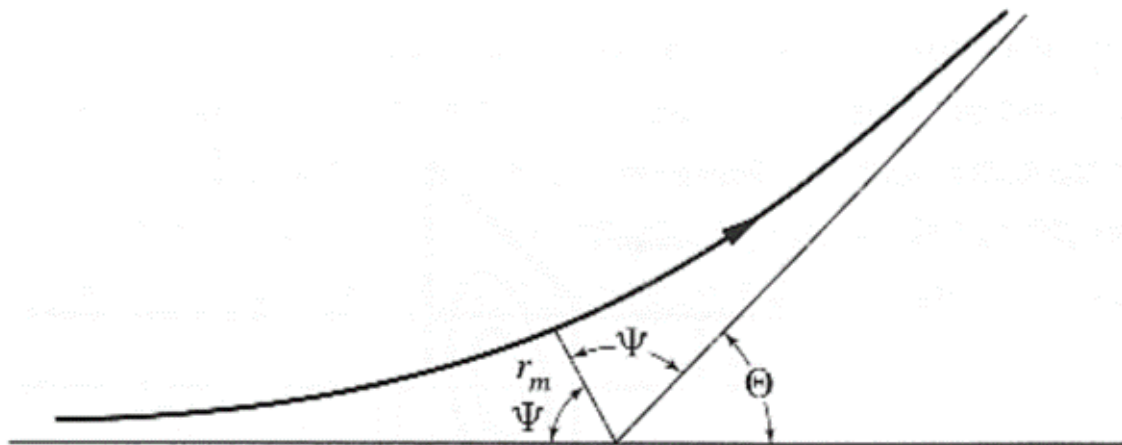
- 为了计算散射截面的理论值

$$\frac{d\sigma}{d\Omega} = \frac{b}{\sin \Theta} \frac{db}{d\Theta}$$

需要知道**瞄准距离** b 与**散射角** Θ 的关系,
即**散射公式**

$$b = b(\Theta)$$

- 散射公式是初末态关系的理论公式
- 在经典力学中, 散射公式可以通过粒子轨道求得



设粒子从左方无穷远处入射,

$$r \rightarrow +\infty$$

$$\theta \rightarrow \pi$$

$$\Theta = \pi - 2[\pi - \theta(r_{\min})]$$

刚性球的散射

- 一个小球撞向一固定的球，两者半径之和为 R
- 对弹性碰撞，可直接写出散射公式

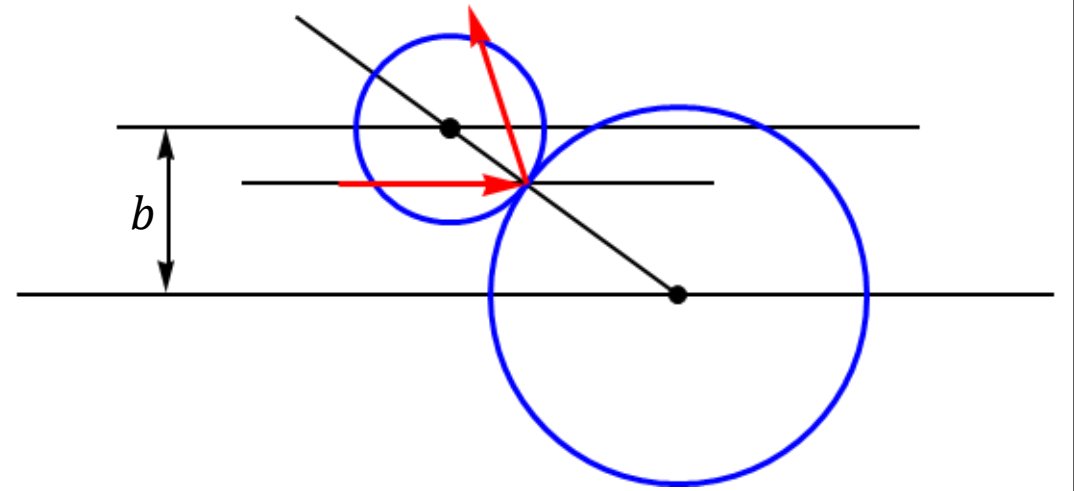
$$b = R \cos \frac{\Theta}{2} \quad (b \leq R)$$
$$\Theta = 0 \quad (\text{if } b > R)$$

- 微分截面

$$\frac{d\sigma}{d\Omega} = \frac{b}{\sin \Theta} \left| \frac{db}{d\Theta} \right| = \frac{R^2}{4}$$

- 总截面

$$\sigma_{\text{tot}} = \int \frac{d\sigma}{d\Omega} d\Omega = \int_0^\pi \frac{R^2}{4} 2\pi \sin \theta d\theta = \pi R^2$$



$$\sin \frac{\pi - \Theta}{2} = \frac{b}{R}$$

中心力场中的散射

- 第三章中，利用莫培督原理求得中心力场中的轨道公式

$$d\theta = \pm \frac{dr}{\sqrt{\frac{2m}{J^2}(E - V)r^4 - r^2}}$$

- 改以 $u = 1/r$ 为广义坐标比较方便，
 $V = ar^n = au^{-n}$

$$\begin{aligned}\theta(u) &= \theta_0 + \int_{u_0}^u d\theta \\ &= \theta_0 \pm \int_{u_0}^u \frac{Jdu}{\sqrt{2mE - 2mau^{-n} - J^2u^2}}\end{aligned}$$

- 在 $n = 2, -1, -2$ 时可积，积分结果为三角函数；
- 在 $n = 6, 4, 1, -3, -5, -7$ 时为椭圆积分。
- 伯特兰定理** (J. Bertrand)

在齐次力场中，只有平方反比引力和各向同性谐振子势场中的轨道是封闭的。

- 散射角是

$$\Theta = \pi - 2 \int_0^{u_{\max}} \frac{bdu}{\sqrt{1 - \frac{1}{E}V(u) - b^2u^2}}$$

- 上式不适用势能有突变的情形，
此时分界面处会有反射或折射，满足反射定律或折射定律。
- 也可以用牛顿力学或拉格朗日力学求轨道和散射公式

卢瑟福散射

- 卢瑟福认为正电荷集中于一个点
- α 粒子在库伦势中的散射

$$V = \frac{\alpha}{r} = \alpha u, \quad \alpha = \frac{2Ze^2}{4\pi\epsilon_0}$$

- 近日点
解方程

$$\begin{aligned} d\theta &= \infty \\ 1 - \frac{\alpha}{E}u - b^2u^2 &= 0 \\ 2mE - 2m\alpha u - 2mEb^2u^2 &= 0 \end{aligned}$$

得

$$\begin{aligned} u_{\max} &= \frac{-\alpha + \sqrt{\alpha^2 + 4E^2b^2}}{2Eb^2} \\ &= \left\{ \left[1 + \left(\frac{\alpha}{2Eb} \right)^2 \right]^{\frac{1}{2}} - \frac{\alpha}{2Eb} \right\} \frac{1}{b} \end{aligned}$$

- 散射角

$$\begin{aligned} \Theta &= \pi - 2 \int_0^{u_{\max}} \frac{bdu}{\sqrt{1 - \frac{\alpha}{E}u - b^2u^2}} \\ &= \pi - 2 \arctan \frac{\alpha}{2Eb} \\ b &= \frac{\alpha}{2E} \cot \frac{\Theta}{2} \end{aligned}$$

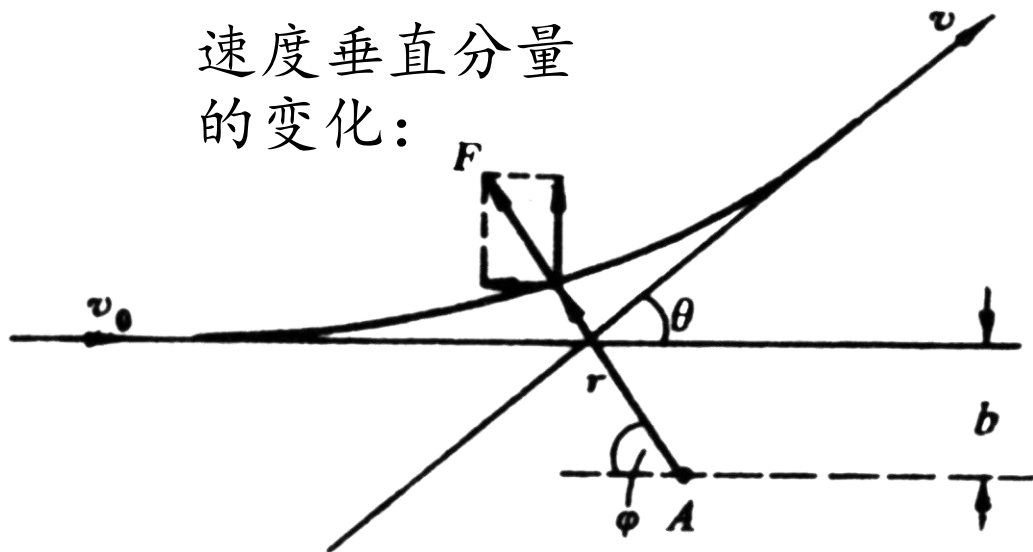
- 微分截面

$$\frac{d\sigma}{d\Omega} = \frac{\alpha^2}{16E^2 \sin^4 \frac{\Theta}{2}}$$

- 总截面无穷大（电磁力是远程力）

牛顿力学解法

速度垂直分量的变化:



$$F_{\perp} = F \sin \varphi = \frac{1}{4\pi\epsilon_0} \frac{2Ze^2}{r^2} \sin \varphi$$

$$\Rightarrow dv_{\perp} = \frac{F_{\perp}}{m} dt = \frac{2Ze^2 \sin \varphi}{4\pi\epsilon_0 m r^2} dt$$

角动量守恒

$$mv_0 b = mr^2 \frac{d\varphi}{dt}$$

$$\Rightarrow dt = \frac{r^2}{v_0 b} d\varphi$$

$$v_0 \sin \theta - 0$$

$$= \frac{2Ze^2}{4\pi\epsilon_0 m v_0 b} \int_0^{\pi-\theta} \sin \varphi d\varphi$$

$$= \frac{2Ze^2}{4\pi\epsilon_0 m v_0 b} (1 + \cos \theta)$$

$$dv_{\perp} = \frac{2Ze^2}{4\pi\epsilon_0 m v_0 b} \sin \varphi d\varphi$$

$$\cot \frac{\theta}{2} = \frac{2b}{D}$$

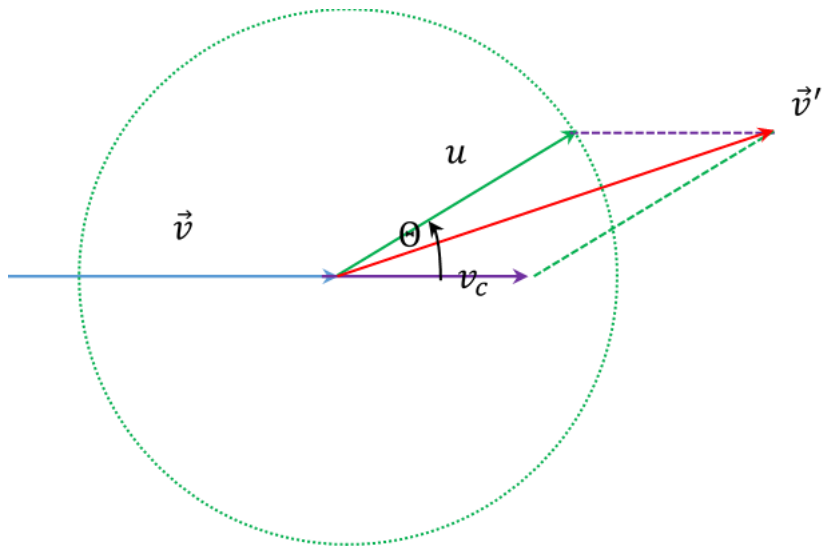
$$D \stackrel{\text{def}}{=} \frac{1}{4\pi\epsilon_0} \frac{4Ze^2}{m v_0^2}$$

打靶实验中的坐标变换

- 在打靶实验中，碰撞后的靶粒子并非静止不动

前面的计算实际上是质心系的结果

- 考虑以质量为 m 粒子的束流，撞击质量为 M 的静止靶粒子，碰撞后靶粒子获得速度



- 由动量守恒，在实验室系，质心速度在碰撞前后不变，沿入射速度 \vec{v} 方向，大小为

$$v_c = \frac{mv}{m+M}$$

- 在质心系，由机械能守恒，束流粒子碰撞前后的速率 u 不变，

$$u = v - v_c = \frac{Mv}{m+M}$$

- 束流粒子在实验室系的出射速度 \vec{v}' 是
- $$\vec{v}' = \vec{v}_c + \vec{u} = (v_c + u \cos \Theta, u \sin \Theta)$$

- 束流出射方向与入射方向的夹角 Θ_L 满足

$$\tan \Theta_L = \frac{u \sin \Theta}{v_c + u \cos \Theta} = \frac{M \sin \Theta}{m + M \cos \Theta}$$

$$\Rightarrow \cos \Theta_L = \frac{m + M \cos \Theta}{\sqrt{m^2 + M^2 + 2mM \cos \Theta}}$$

质心系与实验室系散射角的关系

- 质心系散射角

$$\cos \Theta_L = \frac{m + M \cos \Theta}{\sqrt{m^2 + M^2 + 2mM \cos \Theta}}$$

- 微商得

$$\frac{d \cos \Theta_L}{d \cos \Theta} = \frac{M^2 (M + m \cos \Theta)}{(m^2 + M^2 + 2mM \cos \Theta)^{3/2}}$$

- 解出实验室系散射角

$$\cos \Theta = -\frac{m}{M} \sin^2 \Theta_L \pm \cos \Theta_L \left(1 - \frac{m^2}{M^2} \sin^2 \Theta_L \right)^{\frac{1}{2}}$$

- 当 $m \leq M$ 时,

$$d \cos \Theta_L / d \cos \Theta \geq 0$$

是一一映射, 只能取

$$\cos \Theta = -\frac{m}{M} \sin^2 \Theta_L + \cos \Theta_L \left(1 - \frac{m^2}{M^2} \sin^2 \Theta_L \right)^{\frac{1}{2}}$$

- 当 $m \geq M$ 时,

$$d \cos \Theta_L / d \cos \Theta$$

可正可负, Θ 在整个定义域取双值,

$$\cos \Theta = -\frac{m}{M} \sin^2 \Theta_L \pm \cos \Theta_L \left(1 - \frac{m^2}{M^2} \sin^2 \Theta_L \right)^{\frac{1}{2}}$$

截面的参考系变换

- 截面不变,

$$\frac{d\sigma}{d\Omega_L} d\Omega_L = \frac{d\sigma}{d\Omega} d\Omega$$

- 当 $m \leq M$ 时, 实验室坐标系的微分截面为

$$\frac{d\sigma}{d\Omega_L} = \frac{d\sigma}{d\Omega} \frac{d\Omega}{d\Omega_L} = \frac{d\sigma}{d\Omega} \frac{d \cos \Theta}{d \cos \Theta_L}$$

- 当 $m \geq M$ 时,

$$\begin{aligned} & \frac{d\sigma}{d\Omega_L} \\ &= \left. \left\{ \frac{d\sigma}{d\Omega} \left| \frac{d \cos \Theta}{d \cos \Theta_L} \right| \right\} \right|_{\Theta=\Theta_1} + \left. \left\{ \frac{d\sigma}{d\Omega} \left| \frac{d \cos \Theta}{d \cos \Theta_L} \right| \right\} \right|_{\Theta=\Theta_2} \end{aligned}$$

- 卢瑟福散射中入射粒子质量小于靶粒子

$$m < M$$

- 动能

$$\begin{aligned} E_L &= \frac{1}{2} m v^2, & E &= \frac{1}{2} \mu v^2 \\ \Rightarrow E &= \frac{M}{m+M} E_L = \frac{1}{1+\gamma} E_L, & \gamma &\stackrel{\text{def}}{=} \frac{m}{M} \end{aligned}$$

- 散射角的关系

$$\cos \Theta = -\gamma \sin^2 \Theta_L + \cos \Theta_L (1 - \gamma^2 \sin^2 \Theta_L)^{\frac{1}{2}}$$

- 微分截面

$$\frac{d \cos \Theta}{d \cos \Theta_L} = \frac{\left(-\gamma \cos \Theta_L + \sqrt{1 - \gamma^2 \sin^2 \Theta_L} \right)^2}{\sqrt{1 - \gamma^2 \sin^2 \Theta_L}}$$

$$\frac{d\sigma}{d\Omega_L} = \frac{\alpha^2 (1 + \gamma)^2 \left(-\gamma \cos \Theta_L + \sqrt{1 - \gamma^2 \sin^2 \Theta_L} \right)^2}{16 E_L^2 \sin^4 \frac{\Theta}{2} \sqrt{1 - \gamma^2 \sin^2 \Theta_L}}$$

$$= \frac{\alpha^2}{4 E_L^2 \sin^4 \Theta_L} \frac{1}{\sqrt{1 - \gamma^2 \sin^2 \Theta_L}} \left(\cos \Theta_L + \sqrt{1 - \gamma^2 \sin^2 \Theta_L} \right)^2$$